

BAB IV HASIL DAN PEMBAHASAN

4.1 Pendahuluan

Pada bab ini membahas tentang hasil simulasi *boost converter* dan *cascaded boost converter* pada kondisi tidak ideal dan pengujian yang dilakukan di laboratorium. Pengujian rangkaian dsPIC30F4012, *driver* TLP 250, *boost converter*, *cascaded boost converter* dan catu daya dilakukan menggunakan osiloskop digital dan juga multimeter *true Root Mean Square* (RMS).

Penelitian ini menganalisa perbandingan *gain boost converter* dan *cascaded boost converter* pada kondisi tidak ideal dengan tiga nilai beban yang berbeda. *Gain* didapatkan dari perhitungan dengan persamaan :

$$G = \frac{V_{out}}{V_{in}} \quad (4-1)$$

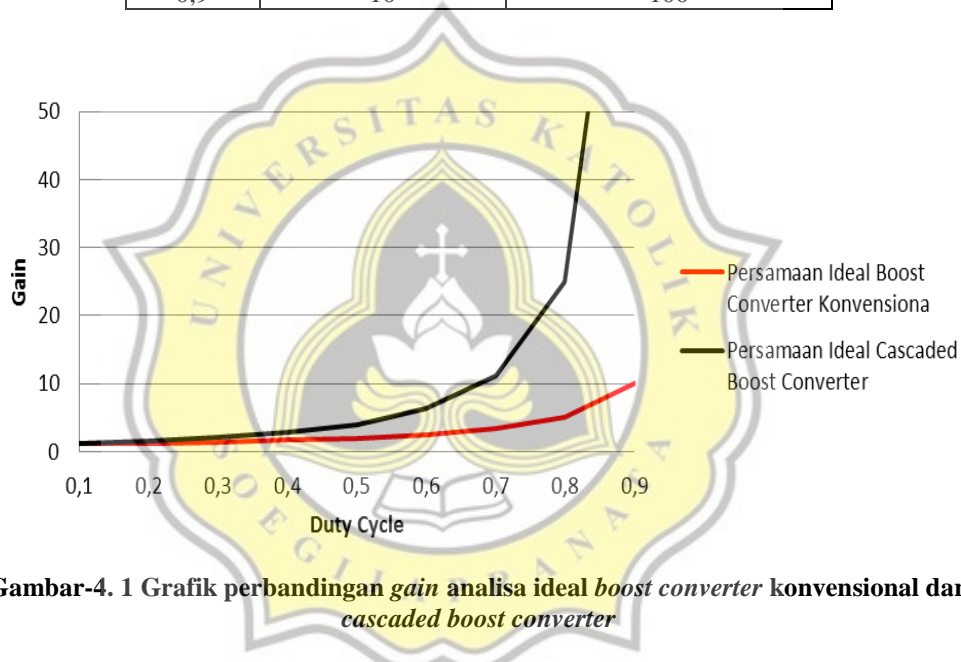
Hasil simulasi akan diverifikasi dengan pengujian alat untuk mendukung analisa yang dilakukan.

4.2 Hasil Analisa Ideal

Analisa *boost converter* konvensional dan *cascaded boost converter* pada kondisi ideal dilakukan menggunakan persamaan (2-1) dan (2-12). Dari persamaan, *boost converter* konvensional dan *cascaded boost converter* pada kondisi ideal tidak memperhitungkan beban yang digunakan sehingga didapatkan *gain* pada Tabel-4.1. Grafik perbandingan *boost converter* konvensional dan *cascaded boost converter* pada Tabel-4.1 dapat dilihat pada Gambar-4.1.

Tabel-4. 1 Perbandingan *gain* analisa ideal *boost converter* konvensional dan *cascaded boost converter*

| Duty Cycle | Persamaan Ideal | |
|------------|----------------------|-------------------------------|
| | Gain Boost Converter | Gain Cascaded Boost Converter |
| 0,1 | 1,11 | 1,23 |
| 0,2 | 1,25 | 1,56 |
| 0,3 | 1,43 | 2,02 |
| 0,4 | 1,67 | 2,76 |
| 0,5 | 2 | 4 |
| 0,6 | 2,5 | 6,25 |
| 0,7 | 3,33 | 11,09 |
| 0,8 | 5 | 25 |
| 0,9 | 10 | 100 |



Gambar-4. 1 Grafik perbandingan *gain* analisa ideal *boost converter* konvensional dan *cascaded boost converter*

Dari perbandingan diatas, *boost converter* converter pada kondisi ideal menghasilkan *gain* paling tinggi pada *duty cycle* 0,9 yaitu sebesar 10. Sedangkan pada *cascaded boost converter* menghasilkan *gain* paling besar pada *duty cycle* 0,9 yaitu sebesar 100.

4.3 Hasil Analisa Tidak Ideal

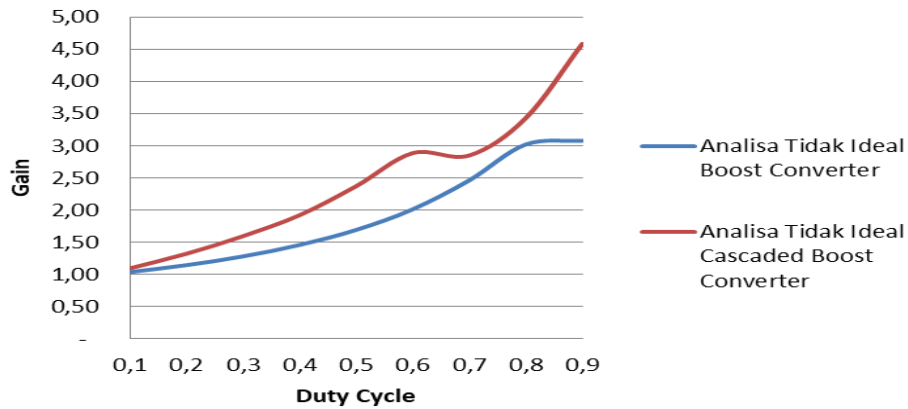
Analisa *boost converter* konvensional dan *cascaded boost converter* pada kondisi tidak ideal didapatkan dari persamaan (2-11) dan (3-4). Dari persamaan tersebut, *boost converter* konvensional dan *cascaded boost converter* mempertimbangkan penggunaan nilai beban. Pada penelitian ini digunakan tiga nilai beban yang berbeda sehingga didapatkan analisa tidak ideal pada tiga Kondisi, di mana Kondisi-1 menggunakan beban 15 Ohm, Kondisi-2 menggunakan beban 34 Ohm dan Kondisi-3 menggunakan beban 65 Ohm.

4.3.1 Hasil Analisa Tidak Ideal pada Kondisi-1

Analisa tidak ideal pada Kondisi-1 dilakukan dengan menggunakan beban 15 Ohm. Hasil analisa tidak ideal diolah menjadi Tabel-4.2 sehingga didapatkan grafik perbandingan *gain boost converter* konvensional dan *cascaded boost converter* tidak ideal pada Kondisi-1 yang ditunjukkan pada Gambar-4.2.

Tabel-4. 2 Perbandingan *gain* analisa tidak ideal pada Kondisi-1

| Duty Cycle | Analisa Tidak Ideal | |
|------------|----------------------|-------------------------------|
| | Gain Boost Converter | Gain Cascaded Boost Converter |
| 0,1 | 1,04 | 1,09 |
| 0,2 | 1,14 | 1,32 |
| 0,3 | 1,28 | 1,59 |
| 0,4 | 1,46 | 1,92 |
| 0,5 | 1,69 | 2,37 |
| 0,6 | 2,01 | 2,89 |
| 0,7 | 2,46 | 2,85 |
| 0,8 | 3,02 | 3,43 |
| 0,9 | 3,08 | 4,58 |



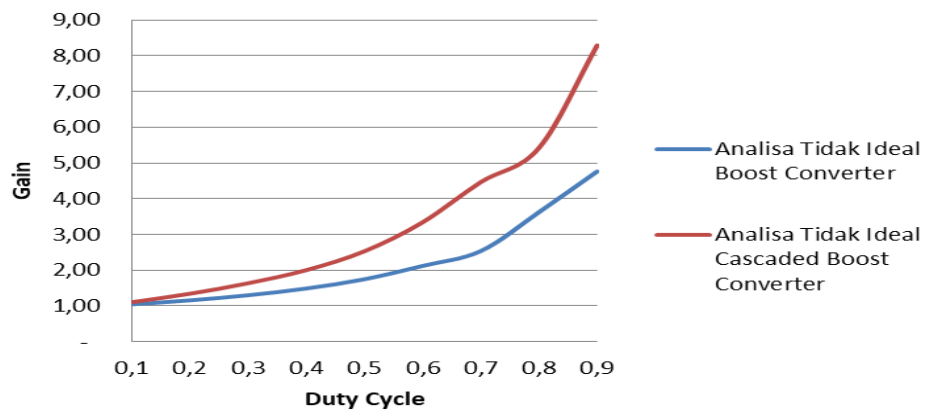
Gambar-4. 2 Grafik perubahan *gain* analisa tidak ideal *boost converter* konvensional dan *cascaded boost converter* pada Kondisi-1

4.3.2 Hasil Analisa Tidak Ideal pada Kondisi-2

Analisa tidak ideal pada Kondisi-2 dilakukan dengan menggunakan beban 34 Ohm. Hasil analisa tidak ideal diolah menjadi Tabel-4.3 sehingga didapatkan grafik perbandingan *gain boost converter* konvensional dan *cascaded boost converter* tidak ideal pada Kondisi-1 yang ditunjukkan pada Gambar-4.3.

Tabel-4. 3 Perbandingan *gain* analisa tidak ideal pada Kondisi-2

| Duty Cycle | Analisa Tidak Ideal | |
|------------|----------------------|-------------------------------|
| | Gain Boost Converter | Gain Cascaded Boost Converter |
| 0,1 | 1,04 | 1,11 |
| 0,2 | 1,16 | 1,34 |
| 0,3 | 1,30 | 1,63 |
| 0,4 | 1,49 | 2,00 |
| 0,5 | 1,75 | 2,53 |
| 0,6 | 2,12 | 3,34 |
| 0,7 | 2,54 | 4,47 |
| 0,8 | 3,62 | 5,42 |
| 0,9 | 4,76 | 8,29 |



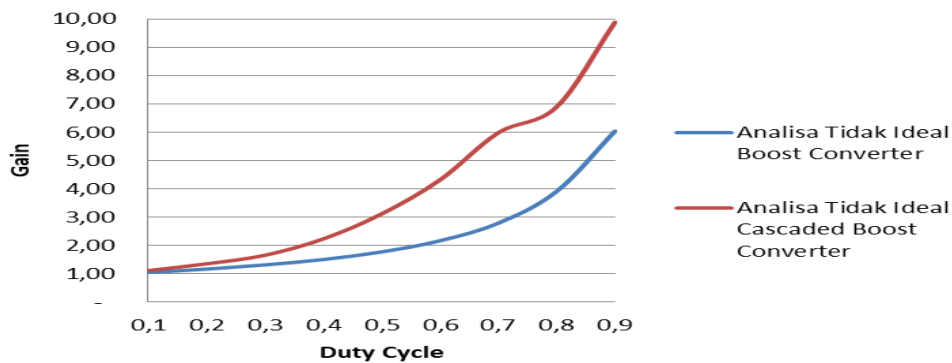
Gambar-4. 3 Grafik perubahan *gain* analisa tidak ideal *boost converter* konvensional dan *cascaded boost converter* pada Kondisi-2

4.3.3 Hasil Analisa Tidak Ideal pada Kondisi-3

Analisa tidak ideal pada Kondisi-3 dilakukan dengan menggunakan beban 34 Ohm. Hasil analisa tidak ideal diolah menjadi Tabel-4.4 sehingga didapatkan grafik perbandingan *gain boost converter* konvensional dan *cascaded boost converter* tidak ideal pada Kondisi-1 yang ditunjukkan pada Gambar-4.4.

Tabel-4. 4 Perbandingan *gain* analisa tidak ideal pada Kondisi-3

| Duty Cycle | Analisa Tidak Ideal | |
|------------|----------------------|-------------------------------|
| | Gain Boost Converter | Gain Cascaded Boost Converter |
| 0,1 | 1,05 | 1,11 |
| 0,2 | 1,16 | 1,35 |
| 0,3 | 1,31 | 1,65 |
| 0,4 | 1,50 | 2,23 |
| 0,5 | 1,77 | 3,11 |
| 0,6 | 2,16 | 4,32 |
| 0,7 | 2,79 | 5,98 |
| 0,8 | 3,91 | 6,90 |
| 0,9 | 6,04 | 9,89 |



Gambar-4. 4 Grafik perubahan *gain* analisa tidak ideal *boost converter* konvensional dan *cascaded boost converter* pada Kondisi-3

4.4 Hasil Simulasi

Simulasi dilakukan menggunakan *software Power Simulator (PSIM)* untuk mendukung verifikasi hasil analisis. Simulasi dilakukan pada *duty cycle* 0,1-0,9 dengan mengacu parameter *boost converter* dan *cascaded boost converter* pada Tabel-4.5 dan Tabel-4.6, serta menggunakan tiga nilai beban yang berbeda, di mana Kondisi-1 menggunakan beban 15 Ohm, Kondisi-2 menggunakan beban 34 Ohm, dan Kondisi-3 menggunakan beban 65 Ohm.

Tabel-4. 5 Parameter *boost converter* konvensional

| Parameter | Nilai |
|--------------------------|--------------------|
| Induktor (L/R_L) | 2mH/4m Ω |
| Kapasitor C | 47 μ F |
| MUR860 (V_D/R_D) | 0.5V/0.17 Ω |
| IRFP460 (V_T/R_{DS}) | 4V/0.27 Ω |

Tabel-4. 6 Parameter *cascaded boost convrter*

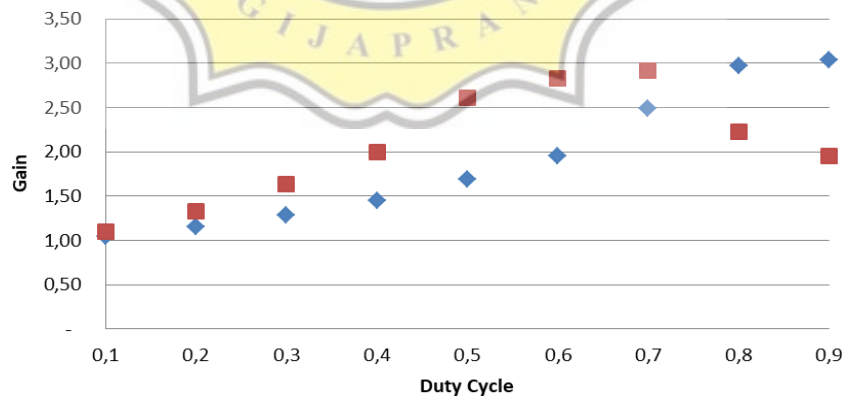
| Parameter | Nilai |
|--------------------------|--------------------|
| Induktor (L/R_L) | 2mH/4m Ω |
| Induktor (L/R_{L2}) | 2mH/6m Ω |
| Kapasitor (C1) | 47 μ F |
| Kapasitor 2 (C2) | 47 μ F |
| MUR860 (V_D/R_D) | 0.5V/0.17 Ω |
| IRFP460 (V_T/R_{DS}) | 4V/0.27 Ω |

4.4.1 Hasil Simulasi Kondisi-1

Simulasi pada Kondisi-1 dilakukan dengan menggunakan nilai beban 15 Ohm. Hasil simulasi diolah menjadi Tabel-4.7 sehingga didapatkan grafik perbandingan *gain boost converter* konvensional dan *cascaded boost converter* dengan beban 15 Ohm yang ditunjukkan pada Gambar-4.5.

Tabel-4. 7 Perbandingan *gain* simulasi Kondisi-1

| Duty Cycle | Simulasi | |
|------------|----------------------|-------------------------------|
| | Gain Boost Converter | Gain Cascaded Boost Converter |
| 0,1 | 1.05 | 1.09 |
| 0,2 | 1.15 | 1.33 |
| 0,3 | 1.28 | 1.63 |
| 0,4 | 1.45 | 2.00 |
| 0,5 | 1.69 | 2.61 |
| 0,6 | 1.95 | 2.83 |
| 0,7 | 2.49 | 2.92 |
| 0,8 | 2.97 | 2.22 |
| 0,9 | 3.03 | 1.95 |



Gambar-4. 5 Grafik perbandingan *gain* simulasi *boost converter* konvensional dan *cascaded boost converter* tidak ideal pada Kondisi-1

Pada Gambar-4.1 *gain boost converter* konvensional ditunjukkan dengan lambang persegi (■) dan *cascaded boost converter* ditunjukkan dengan lambang belah

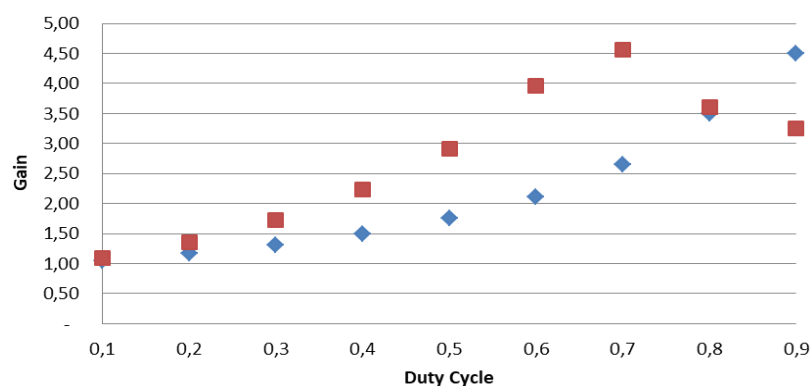
ketupat (♦). Dari hasil simulasi, pada *duty cycle* 0,1-0,7 *cascaded boost converter* dapat menghasilkan *gain* lebih tinggi dari *boost converter* konvensional. Ketika *duty cycle* 0,8 dan 0,9 *boost converter* konvensional menghasilkan *gain* yang lebih tinggi dari *cascaded boost converter*

4.4.2 Hasil Simulasi Kondisi-2

Simulasi pada Kondisi-2 dilakukan dengan mengganti nilai beban menjadi 34 Ohm. Hasil simulasi diolah menjadi Tabel-4.8 sehingga didapatkan grafik perbandingan *gain boost converter* dan *cascaded boost converter* dengan beban 34 Ohm yang ditunjukkan pada Gambar-4.6.

Tabel-4. 8 Perbandingan *gain* simulasi Kondisi-2

| Duty Cycle | Simulasi | |
|------------|----------------------|-------------------------------|
| | Gain Boost Converter | Gain Cascaded Boost Converter |
| 0,1 | 1.05 | 1.10 |
| 0,2 | 1.17 | 1.36 |
| 0,3 | 1.31 | 1.72 |
| 0,4 | 1.49 | 2.24 |
| 0,5 | 1.75 | 2.92 |
| 0,6 | 2.12 | 3.96 |
| 0,7 | 2.65 | 4.56 |
| 0,8 | 3.50 | 3.61 |
| 0,9 | 4.50 | 3.25 |



Gambar-4. 6 Grafik perbandingan *gain* simulasi *boost converter* konvensional dan *cascaded boost converter* tidak ideal pada Kondisi-2

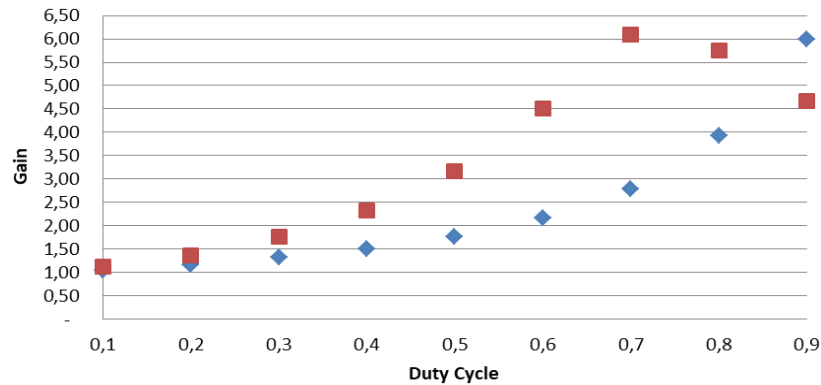
Pada Gambar-4.6 *gain boost converter* konvensional ditunjukkan dengan lambang persegi (■) dan *cascaded boost converter* ditunjukkan dengan lambang belah ketupat (◆). Dari hasil simulasi, pada *duty cycle* 0,1-0,7 *cascaded boost converter* dapat menghasilkan *gain* lebih tinggi dari *boost converter* konvensional.

4.4.3 Hasil Simulasi Kondisi-3

Simulasi pada Kondisi-3 dilakukan dengan mengganti nilai beban menjadi 65 Ohm. Hasil simulasi diolah menjadi Tabel-4.9 sehingga didapatkan grafik perbandingan *gain boost converter* dan *cascaded boost converter* dengan beban 65 Ohm yang ditunjukkan pada Gambar-4.7.

Tabel-4. 9 Perbandingan *gain* simulasi Kondisi-3

| Duty Cycle | Simulasi | |
|------------|----------------------|-------------------------------|
| | Gain Boost Converter | Gain Cascaded Boost Converter |
| 0,1 | 1.05 | 1.11 |
| 0,2 | 1.17 | 1.37 |
| 0,3 | 1.31 | 1.75 |
| 0,4 | 1.5 | 2.33 |
| 0,5 | 1.76 | 3.16 |
| 0,6 | 2.17 | 4.5 |
| 0,7 | 2.78 | 6.1 |
| 0,8 | 3.92 | 5.75 |
| 0,9 | 6 | 4.67 |

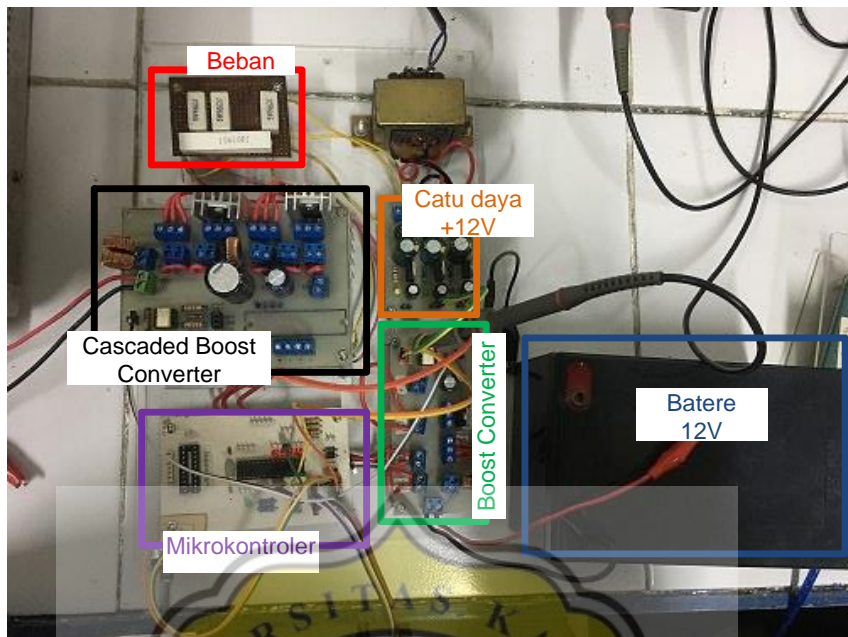


Gambar-4. 7 Grafik perbandingan gain simulasi *boost converter* konvensional dan *cascaded boost converter* tidak ideal pada Kondisi-3

Pada Gambar-4.7 *gain boost converter* konvensional ditunjukkan dengan lambang persegi (■) dan *cascaded boost converter* ditunjukkan dengan lambang belah ketupat (◆). Dari hasil simulasi, pada *duty cycle* 0,1-0,7 *cascaded boost converter* dapat menghasilkan *gain* lebih tinggi dari *boost converter* konvensional.

4.5 Hasil Pengujian Alat

Hasil analisis dan simulasi divalidasi dengan membuat alat berdasarkan rangkaian dan metode yang sudah diuraikan pada Bab III yang ditunjukkan pada Gambar-4.8 dengan nilai parameter *boost converter* konvensional dan *cascaded boost converter* seperti Tabel-4.5 dan Tabel-4.6. Implementasi ini dilakukan untuk membuktikan bahwa analisis yang dilakukan sesuai dengan *hardware*.



Gambar-4. 8 Implementasi alat *boost converter* konvensional dan *cascaded boost converter*

Boost converter konvensional dan *cascaded boost converter* memerlukan PWM yang dihasilkan oleh mikrokontroler dsPIC30F4012 untuk mengendalikan MOSFET dengan *driver optocoupler* TLP250. Penelitian ini dilakukan dengan mengubah tiga beban sehingga didapatkan tiga Kondisi, dimana Kondisi-1 = 15 Ohm, Kondisi-2 = 34 Ohm, dan Kondisi-3 = 65 Ohm dengan tegangan sumber 12Vdc yang didapatkan dari batere.

Hasil pengujian dilakukan dengan membandingkan tegangan sumber dan tegangan keluaran pada kedua konverter dengan perubahan *duty cycle* dari 0,1-0,9 sehingga didapatkan *gain* pada setiap kondisi sebagai tolak ukur agar didapatkan perbandingan kinerja pada kedua konverter.

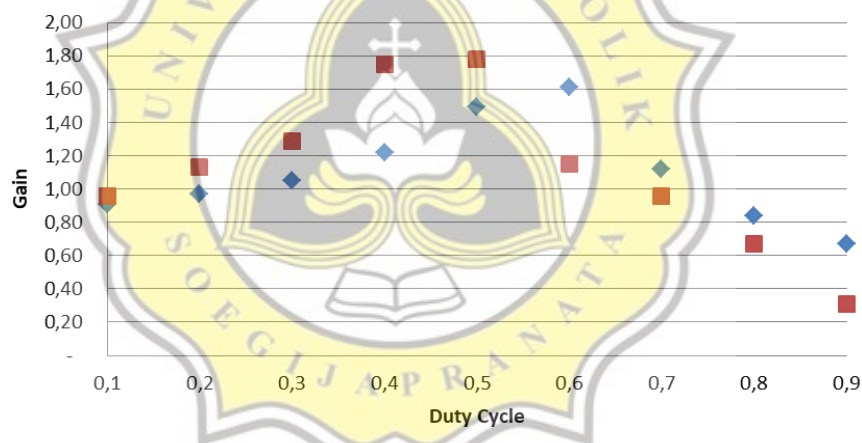
4.5.1 Hasil Pengujian Kondisi-1

Pengujian alat pada Kondisi-1 dilakukan dengan menggunakan nilai beban 15 Ohm. Data pengujian alat diolah menjadi Tabel-4.10 sehingga didapatkan

grafik perbandingan *gain boost converter* konvensional dan *cascaded boost converter* dengan beban 15 Ohm yang ditunjukkan pada Gambar-4.9.

Tabel-4. 10 Perbandingan *gain* pengujian alat Kondisi-1

| Duty Cycle | Eksperimen | |
|------------|----------------------|-------------------------------|
| Cycle | Gain Boost Converter | Gain Cascaded Boost Converter |
| 0,1 | 0.91 | 0.96 |
| 0,2 | 0.97 | 1.13 |
| 0,3 | 1.05 | 1.29 |
| 0,4 | 1.22 | 1.75 |
| 0,5 | 1.49 | 1.78 |
| 0,6 | 1.61 | 1.15 |
| 0,7 | 1.12 | 0.96 |
| 0,8 | 0.84 | 0.67 |
| 0,9 | 0.67 | 0.31 |



Gambar-4. 9 Grafik perbandingan *gain* pengujian *boost converter* konvensional dan *cascaded boost converter* tidak ideal pada Kondisi-1

Pada Gambar 4-5 *gain boost converter* konvensional ditunjukkan dengan lambang persegi (■) dan *cascaded boost converter* ditunjukkan dengan lambang belah ketupat (◆). Hasil pengujian alat pada kondisi ini, *cascaded boost converter* dengan *duty cycle* 0,5 menunjukkan *gain* paling tinggi yaitu 1,78 dan ketika *duty cycle* sebesar 0,6-0,9 *gain* mengalami penurunan. Sedangkan *boost converter*

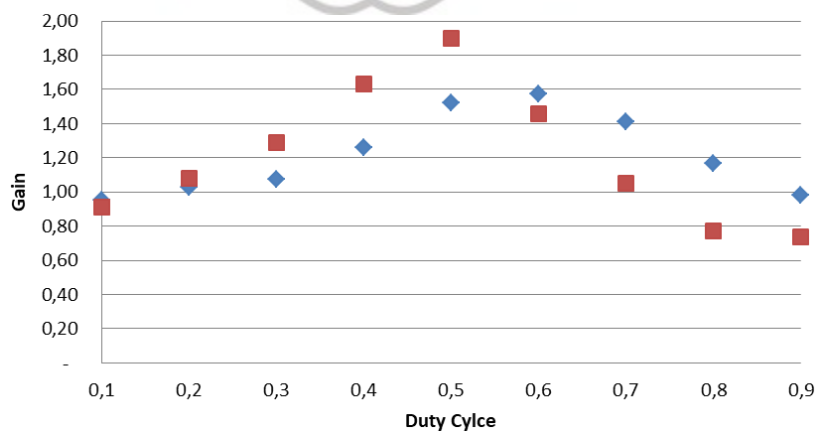
konvensional menghasilkan *gain* paling tinggi sebesar 1,61 pada *duty cycle* 0,6 dan *gain* mengalami penurunan pada *duty cycle* 0,7-0,9.

4.5.2 Hasil Pengujian Kondisi-2

Pengujian alat pada Kondisi-2 dilakukan dengan menggunakan nilai beban 34 Ohm. Data pengujian alat diolah menjadi Tabel-4.11 sehingga didapatkan grafik perbandingan *gain boost converter* konvensional dan *cascaded boost converter* dengan beban 34 Ohm yang ditunjukkan pada Gambar-4.10.

Tabel-4. 11 Perbandingan *gain* pengujian alat Kondisi-2

| Duty Cycle | Eksperimen | |
|------------|----------------------|-------------------------------|
| | Gain Boost Converter | Gain Cascaded Boost Converter |
| 0,1 | 0,95 | 0,91 |
| 0,2 | 1,03 | 1,08 |
| 0,3 | 1,08 | 1,29 |
| 0,4 | 1,26 | 1,63 |
| 0,5 | 1,52 | 1,90 |
| 0,6 | 1,58 | 1,46 |
| 0,7 | 1,41 | 1,05 |
| 0,8 | 1,17 | 0,77 |
| 0,9 | 0,98 | 0,74 |



Gambar-4. 10 Grafik perbandingan gain pengujian *boost converter* konvensional dan *cascaded boost converter* tidak ideal pada Kondisi-2

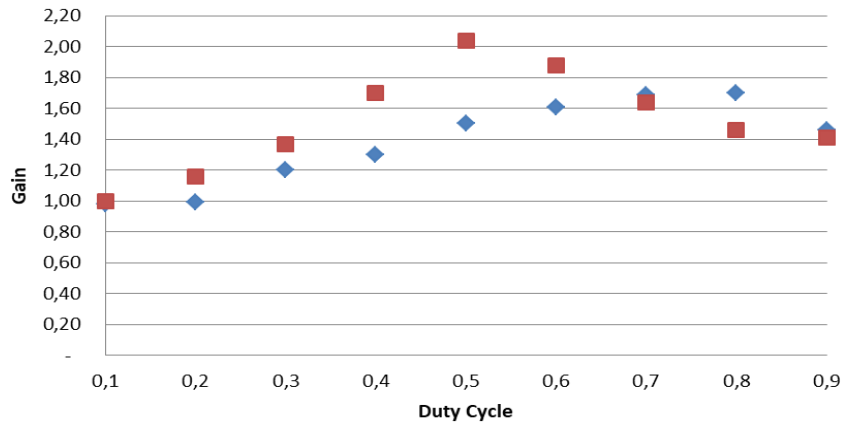
Pada Gambar-4.10 *gain boost converter* konvensional ditunjukkan dengan lambang persegi (■) dan *cascaded boost converter* ditunjukkan dengan lambang belah ketupat (◆). Hasil pengujian alat pada kondisi ini, *cascaded boost converter* dengan *duty cycle* 0,5 menunjukkan *gain* paling tinggi yaitu 1,90 dan ketika *duty cycle* sebesar 0,6-0,9 *gain* mengalami penurunan. Sedangkan *boost converter* konvensional menghasilkan *gain* paling tinggi sebesar 1,58 pada *duty cycle* 0,6 dan *gain* mengalami penurunan pada *duty cycle* 0,7-0,9.

4.5.3 Hasil Pengujian Kondisi-3

Pengujian alat pada Kondisi-2 dilakukan dengan menggunakan nilai beban 65 Ohm. Data pengujian alat diolah menjadi Tabel-4.12 sehingga didapatkan kurva perbandingan *gain boost converter* konvensional dan *cascaded boost converter* dengan beban 65 Ohm yang ditunjukkan pada Gambar-4.11.

Tabel-4. 12 Perbandingan *gain* pengujian alat Kondisi-3

| Duty Cycle | Eksperimen | |
|---------------|-------------------------|----------------------------------|
| | Gain Boost Converter | Gain Cascaded Boost Converter |
| 0,1 | 0,98 | 1,00 |
| 0,2 | 0,99 | 1,16 |
| 0,3 | 1,20 | 1,37 |
| 0,4 | 1,30 | 1,70 |
| 0,5 | 1,50 | 2,04 |
| 0,6 | 1,61 | 1,88 |
| 0,7 | 1,69 | 1,64 |
| 0,8 | 1,70 | 1,46 |
| 0,9 | 1,46 | 1,41 |



Gambar-4. 11 Grafik perbandingan gain pengujian *boost converter* konvensional dan *cascaded boost converter* tidak ideal pada Kondisi-3

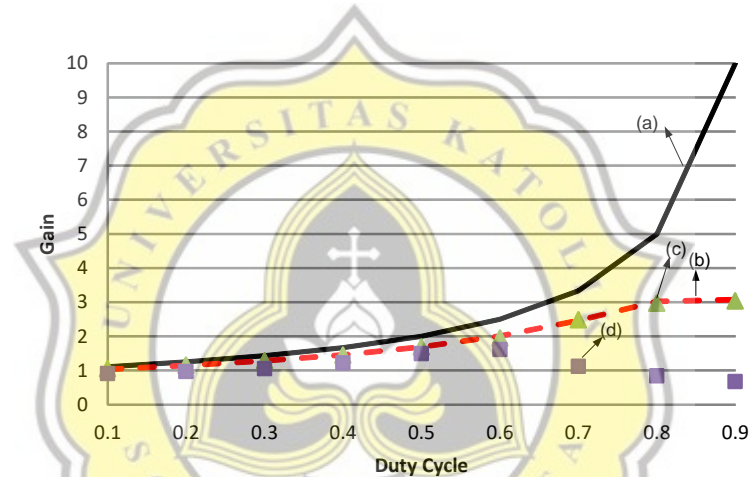
Pada Gambar 4-11 *gain boost converter* konvensional ditunjukkan dengan lambang persegi (■) dan *cascaded boost converter* ditunjukkan dengan lambang belah ketupat (◆). Hasil pengujian alat pada kondisi ini, *cascaded boost converter* dengan *duty cycle* 0,5 menunjukkan *gain* paling tinggi yaitu 2,04 dan ketika *duty cycle* sebesar 0,6-0,9 *gain* mengalami penurunan. Sedangkan *boost converter* konvensional menghasilkan *gain* paling tinggi sebesar 1,70 pada *duty cycle* 0,8 dan *gain* mengalami penurunan pada *duty cycle* 0,9. Kondisi ini merupakan kondisi dimana *boost converter* konvensional dan *cascaded boost converter* menghasilkan *gain* paling tinggi diantara kondisi lainnya.

4.6 Pembahasan

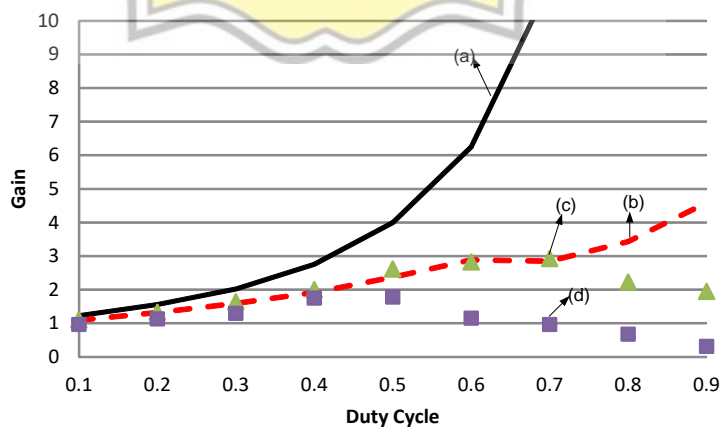
Berdasarkan tujuan dari penelitian ini, dilakukan pengujian alat dengan tiga Kondisi dengan menggunakan tiga nilai beban yang berbeda. Pengujian pada Kondisi-1, Kondisi-2 dan Kondisi-3 menunjukkan *gain* yang dihasilkan pada *duty cycle* tertentu mengalami penurunan. Hal ini berkaitan dengan nilai efek *parasitic* diluar dari analisa tidak ideal yang tidak diketahui besarnya. Untuk mengetahui

gain maksimal *boost converter* konvensional dan *cascaded boost converter* diperlukan pengolahan data dengan membandingkan perhitungan analisa ideal, analisa tidak ideal, simulasi tidak ideal dan juga pengujian alat.

Gambar-4.12, Gambar-4.14, Gambar-4.16 merupakan perbandingan gain *boost converter* konvensional dan Gambar-4.13, Gambar-4.15, Gambar-4.17 merupakan perbandingan *cascaded boost converter* pada Kondisi-1, Kondisi-2 dan Kondisi-3 dengan nilai beban 15 Ohm, 34 Ohm dan 65 Ohm.

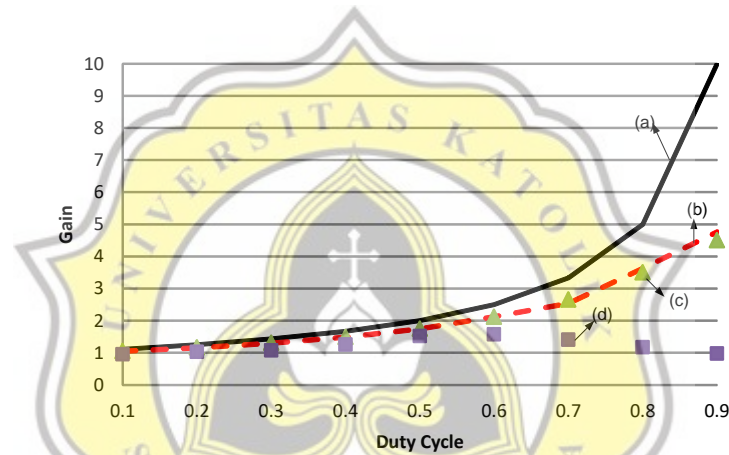


Gambar-4. 12 Hasil perbandingan *boost converter* konvensional pada Kondisi-1 (a) Analisa ideal (b) Analisa tidak ideal (c) Simulasi tidak ideal (d) Pengujian alat

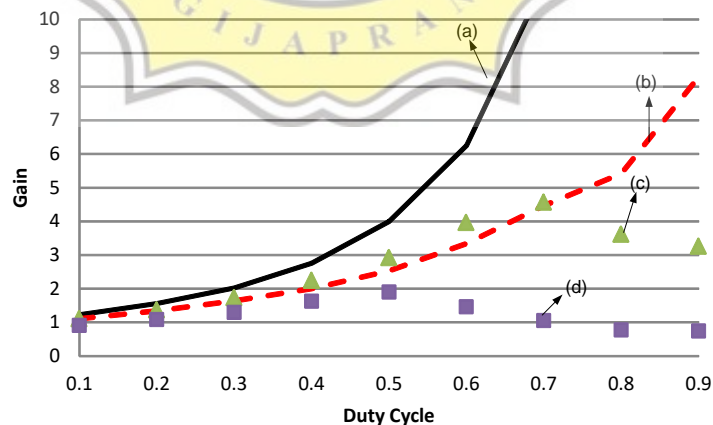


Gambar-4. 13 Hasil perbandingan *cascaded boost onverter* pada Kondisi-1 (a) Analisa ideal (b) Analisa tidak ideal (c) Simulasi tidak ideal (d) Pengujian alat

Gambar-4.12 perbandingan analisa ideal, analisa tidak ideal, simulasi dan pengujian Kondisi-1 pada *boost converter* konvensional lebih rendah daripada Gambar 4.13 perbandingan analisa ideal, analisa tidak ideal, simulasi dan pengujian Kondisi-1 pada *cascaded boost converter* dengan nilai beban yang sama. Simulasi dan pengujian alat pada *duty cycle* 0,1-0,5 pada *cascaded boost converter* lebih tinggi dari *boost converter* konvensional. Sedangkan ketika *duty cycle* besar, efek *parasitic* yang besar mengakibatkan *gain* turun.



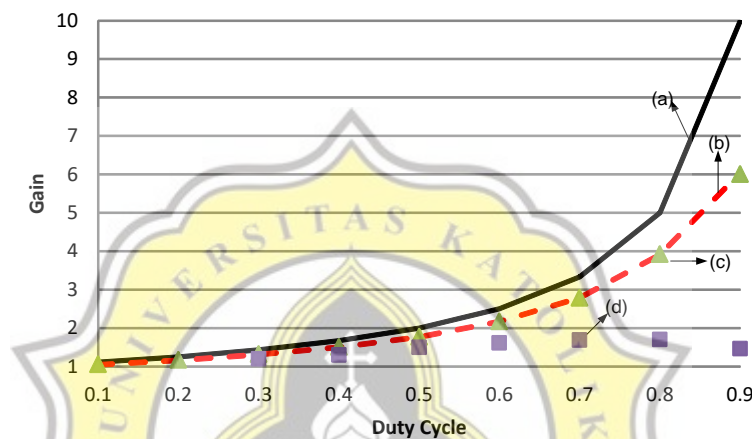
Gambar-4. 14 Hasil perbandingan *boost converter* konvensional pada Kondisi-1 (a) Analisa ideal (b) Analisa tidak ideal (c) Simulasi tidak ideal (d) Pengujian alat



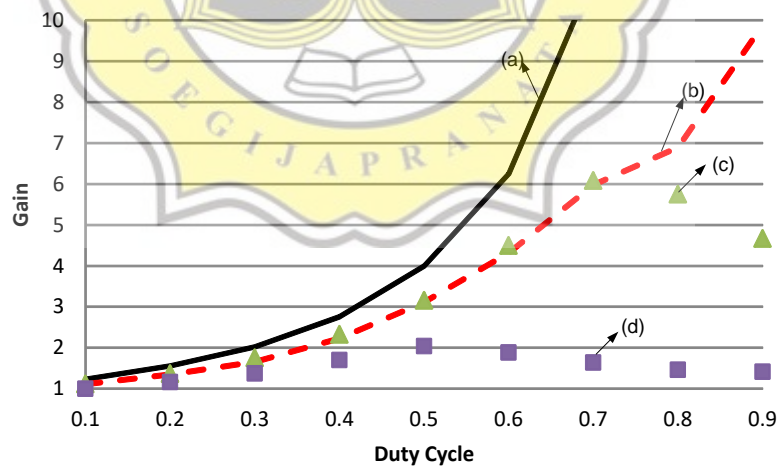
Gambar-4. 15 Hasil perbandingan *cascaded boost onverter* pada Kondisi-1 (a) Analisa ideal (b) Analisa tidak ideal (c) Simulasi tidak ideal (d) Pengujian alat

Gambar-4.14 perbandingan analisa ideal, analisa tidak ideal, simulasi dan pengujian Kondisi-2 pada *boost converter* konvensional lebih rendah daripada

Gambar-4.15 perbandingan analisa ideal, analisa tidak ideal, simulasi dan pengujian Kondisi-2 pada *cascaded boost converter* dengan nilai beban yang sama. Analisa sederhana pada *cascaded boost converter* merupakan analisa dengan hasil *gain* tak terhingga, hal ini tidak mungkin terjadi karena keterbatasan kemampuan tiap-tiap elemen.



Gambar-4. 16 Hasil perbandingan *boost converter* konvensional pada Kondisi-1 (a) Analisa ideal (b) Analisa tidak ideal (c) Simulasi tidak ideal (d) Pengujian alat



Gambar-4. 17 Hasil perbandingan *cascaded boost onverter* pada Kondisi-1 (a) Analisa ideal (b) Analisa tidak ideal (c) Simulasi tidak ideal (d) Pengujian alat

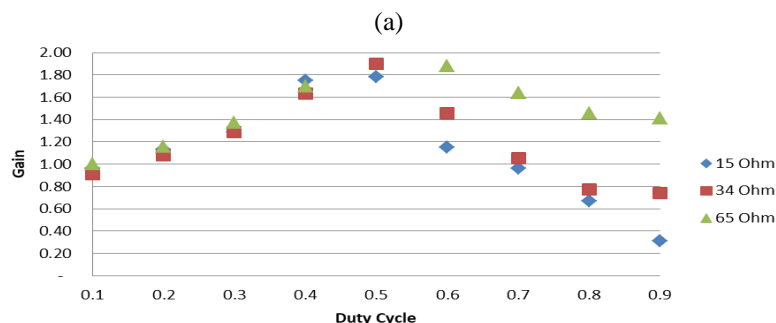
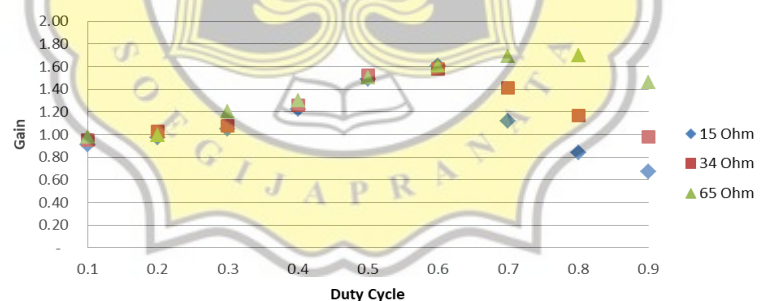
Gambr-4.16 menunjukkan perbandingan analisa ideal, analisa tidak ideal, simulasi dan pengujian Kondisi-3 pada *boost converter* konvensional dengan nilai

beban lebih rendah daripada Gambar-4.17 yang menunjukkan perbandingan analisa ideal, analisa tidak ideal, simulasi dan pengujian Kondisi-3 pada *cascaded boost converter* dengan nilai beban yang sama. Perbandingan analisis, simulasi dan eksperimen Kondisi-3 pada Gambar-4.16 dan Gambar-4.17 sama dengan hasil perbandingan Kondisi-1 dan Kondisi-2 yang menunjukkan bahwa *gain* pengujian alat mendekati *gain* simulasi dan analisis tidak ideal.

Pada ketiga kondisi, *boost converter* konvensional dengan analisa ideal menghasilkan *gain* lebih tinggi dari *gain* analisa tidak ideal. Hasil simulasi tidak ideal dan pengujian alat menunjukkan bahwa *gain* yang dihasilkan mendekati analisa *boost converter* konvensional tidak ideal. Analisa ideal *cascaded boost converter* menghasilkan *gain* tak terhingga sehingga digunakan analisa tidak ideal. Simulasi dan pengujian *cascaded boost converter* menunjukkan bahwa *gain* yang dihasilkan mendekati *gain* analisa tidak ideal. Hasil pengujian alat menunjukkan *gain cascaded boost converter* pada *duty cycle* besar lebih rendah daripada *boost converter* konvensional karena pada *cascaded boost converter* memiliki komponen yang lebih banyak dari *boost converter* konvensional sehingga rugi-rugi yang diakibatkan oleh elemen *parasitic* pada *cascaded boost converter* lebih besar.

Penggunaan nilai beban pada *boost converter* konvensional dan *cascaded boost converter* sangat berpengaruh terhadap tegangan keluaran yang dihasilkan, hal ini dapat dilihat dari hasil pengujian alat di ketiga kondisi. Terjadi penurunan *gain* pada *duty cycle* besar pada pengujian dikarenakan nilai elemen *parasitic* diluar perhitungan tidak ideal yang tidak diketahui nilai besarnya sehingga

menyebabkan rugi-rugi yang besar. Pengaruh perubahan beban menghasilkan perbandingan *gain boost converter* konvensional dan *cascaded boost converter* terhadap beban yang digunakan yang dapat dilihat pada Gambar-4.18 di mana tanda belah ketupat (◆) merupakan indikator *gain* dengan nilai beban 15 Ohm, persegi (■) menunjukkan indikator *gain* dengan nilai beban 34 Ohm dan segitiga (▲) merupakan indikator *gain* dengan nilai beban 65 Ohm. Nilai beban berbanding terbalik dengan arus yang mengalir menyebabkan pengujian Kondisi-1 dengan nilai beban 15 Ohm menghasilkan *gain* yang paling kecil dan arus yang mengalir paling besar dari kondisi lainnya. Kondisi-2 dengan nilai beban 34 Ohm menghasilkan *gain* yang lebih besar dari pengujian Kondisi-1 dan pengujian Kondisi-3 dengan nilai beban 65 Ohm menghasilkan *gain* paling besar daripada Kondisi-1 dan 2 dan dialiri arus paling kecil daripada kondisi lainnya.



Gambar-4. 18 Grafik perubahan *gain* terhadap nilai beban (a) *boost converter* konvensional (b) *cascaded boost converter*